

## **Benzoik Asit Esterlerinin Sentez, Yapı Açıklamaları ve Kuantitatif Lokal Anestezik Etkileri Üzerinde Çalışmalar - II**

**Studies on the Synthesis, Structure Elucidation and Quantitative Local Anesthetic Activities of Benzoic Acid Esters - II**

**Tuncel ÖZDEN\***

### **ÖZET**

Bu çalışmada lokal anestezik etkili, 2,4-dimetoksi ve 2,4-dimetilbenzoik asitin 2-dialkilaminoethyl esterleri hazırlanmış ve 7 si orjinal olan 10 bileşigin yapıları kanıtlandıktan sonra kuantitatif lokal anestezik etkileri prokain hidroklorür ile de mukayese edilerek verilmiştir. Sonuçta. 2,4-dimetilbenzolik asitin 2-dialkilaminoethyl esterleri, 2,4-dimetoksibenzoik asit esterleri ve prokain HCl den daha etkili bulunmuştur.

### **SUMMARY**

In this research, 10. 2-dialkylaminoethyl esters of 2,4-dimethoxy and 2,4-dimethylbenzoic acids had been prepared and 7 of them were original. After the structure elucidation their local anesthetic activities were found and compared with the activity of procaine hydrochloride. As a result, 2-dialkylaminoethyl esters of 2,4-dimethylbenzoic acid were found more active than esters of 2,4-dimethoxybenzoic acids and procaine HCl.

**Anahtar Kelimeler:** Lokal Anestezi ; Substitue benzoik asit ; Esterler; Prokain HCl

Redaksiyona verildiği Tarih: 4. Nisan 1984

\* Farmasötik Kimya Anabilim Dalı.. Eczacılık Fakültesi, Ankara Üniversitesi

Benzoik asit esteri lokal anestezik etkili bileşiklerde orta konumda bulunan sübstiyentlerin etkiye katkılarının açıklanması amacıyla sentezlenen monosübstitüe benzoik asit esterlerinin sentezleri ve yapılarının açıklanması bundan önceki çalışmada verilmiştir (1). Bu çalışmada da orto ve para disübstitüe benzoik asit türevleri ele alınmış ve 2,4-dimetoksi ve 2,4-dimetilbenzoik asitin 2-dialkilaminoetil esterlerinin sentezi, yapılarının açıklanması ve lokal anestezik etkileri ortaya konulmuştur.

## DENEL KISIM

### Materiyal ve Metod

Çalışmada kullanılan, 2,4-dimetilbenzoik asit (Ega) saf bileşiktir. 2,4-Dimetoksibenzoik asit ise 2,4-dihidroksibenzoik asitten hareketle hazırlanmıştır. 2-Dialkilaminoetil klorür hidroklorür bileşikleri ise 2-kloroetanol ve uygun dialkilaminlerden hareketle 2-dialkilaminoetanol basamağından geçirilerek hazırlanmıştır (1).

Aletsel analiz çalışmalarında spektral saflıkta potasyum bromür (Pye Unicam), metanol (Aldrich) ve dimetilsulfoksit-d<sub>6</sub> (J.T. Baker) kullanılmıştır.

Sentezlenen bileşiklerin UV spektrumları Pye Unicam SP 1700 Ultraviyole Spektrofotomtresi, İR spektrumları Pye Unicam SP 1100 İnfrared Spektrofotometresi, NMR spektrumları Varian A-60 NMR Spektrometresi, kütle spektrumları Hitachi-Perkin Elmer Kütle Spektrometresi kullanılarak alınmıştır. Ergime dereceleri Mettler FP-5 Ergime Derecesi Tayin Cihazından yararlanılarak bulunmuş ve düzeltildirmeden verilmiştir.

### 2,4-Dimetoksibenzoik Asit Sentezi (2)

24.66 g (0.16 mol) o,p-dihidrosibenzoik asit ve 56 g (1 mol) potasyum hidroksitin 200 ml distile su içindeki çözeltisi 500 ml lik yuvarlak dipli bir balonda karıştırıldı. Karışımıma 100.90 g (0.8 mol) dimetil sülfat ilave edildi. Balon içeriği yağ banyosu ve manyetik karıştırıcı üzerinde, geri çeviren soğutucu altında, 130 °C de 4 saat ısıtıldı. Bu süre sonunda karışımın bir miktar alındı, üzerine 6 N hidroklorik asit çözeltisi ilavesiyle çöktürülen bileşik süzülerek alındı,

yıkama suları asit reaksiyon vermiyene kadar distile su ile yıkandı. Çökelek metanol içinde çözüldü ve % 5 lik demir-3-klorür çözeltisi ilavesiyle fenol grubunun varlığı araştırıldı. Fenol grubunun varlığı görülmediğinden reaksiyona son verildi. Reaksiyon karışımı soğutuldu, süzüldü ve süzüntüye 6 N hidroklorik asit çözeltisi ilavesiyle bileşigin tamamı çöktürüldü. Yıkama suları asit reaksiyon vermiyene kadar distile su ile yıkandı, kurutuldu ve metanol-aseton karışımından tekrar kristallendirilip vakum etuvünde 50 °C de kurutuldu. (Verim: % 65.36) E.d.: 108.9 °C

Sentez edilen bileşigin E.d. ve İR spektrumu literatür verileri ile tamamen uyusmaktadır (3).

### **Benzoik Asit Esteri Lokal Anestezik Bileşiklerin Sentezi**

Bileşiklerin sentezi daha önce yapılan çalışmada verilen yöntemle yapılmıştır (1). Sentezlenen bileşikler Tablo: 1 de toplu halde verilmektedir. Tablodan görüldüğü gibi 10 bileşigin 7 si ilk kez bu çalışmada sentezlenmiştir.

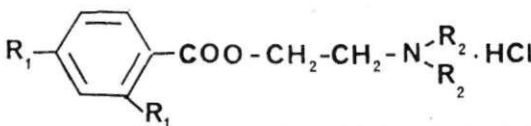
### **Bileşiklerin incelemesi**

**UV Spektrumları:** Tüm bileşiklerin UV spektrumları spektral saflıkta metanol içinde,  $2 \times 10^{-5}$  M çözeltilerinden alınmış ve 190-400 nm arasında tarama yapılmıştır. Her bileşik için maksimum dalga boyu ve molar ekstinksyon katsayısı değerleri verilmektedir.

**İR Spektrumları:** Bileşiklerin İR spektrumları potasyum bromür disk yöntemi kullanılarak alınmıştır. Aşağıda verilen pikler tüm spektrumlarda görülmektedir: 3050-3000 (=C-H gerilimleri), 2980-2850 (-C-H gerilimleri), 2600-2480 (N+-H gerilimleri), 1750-1730 (C=O gerilimleri), 1610-1500 (C=C gerilimleri), 1470-1380 (C-H eğilimleri), 1300-1010 (C-O gerilimleri), 850-770 (C-H plan dışı eğilimleri)

Yukarıda verilenlerin dışında karakteristik pik görülmemektedir. Bu sebeple her bileşigin spektrumunun ayrı ayrı incelenmesine gerek duyulmamıştır.

**NMR Spektrumları:** Bileşiklerin NMR spektrumları, DMSO-d<sub>6</sub> içinde ve tetrametilsilan internal standartı kullanılarak çekilmiştir. Sentezlenen her bileşigin NMR spektrumu ayrı ayrı çözümlemek-



Bil. No.	R <sub>1</sub>	R <sub>2</sub>	Bil. No.	R <sub>1</sub>	R <sub>2</sub>
* 1	C H <sub>3</sub>	Me	6 Lit. 5	O C H <sub>3</sub>	Me
2 Lit. 4	C H <sub>3</sub>	Et	7 Lit. 5	O C H <sub>3</sub>	Et
* 3	C H <sub>3</sub>	n-Pr	8*	O C H <sub>3</sub>	n-Pr
* 4	C H <sub>3</sub>	i-Pr	9*	O C H <sub>3</sub>	i-Pr
* 5	C H <sub>3</sub>	n-Bu	* 10	O C H <sub>3</sub>	n-Bu

\* İlk kez bu çalışmada sentezlenmiştir.

Tablo 1: Sentez edilen Bileşikler

tedir. Spektrumların bazlarında tersiyer amin tuzuna ait protonun sinyali çözücü etkisiyle görülmediğinden spektrumların çözümlemesinde değerlendirilmemiştir.

**Kütle Spektrumları:** Sentezlenen tüm bileşiklerin kütle spektrumları çekilmiştir. Spektrumlar, yan zincirlerin kopuşu bakımından benzerdir ve her bileşik için ayrı ayrı açıklanmaktadır. Spektrumlarda aromatik halkanın parçalanması ile oluşan iyonlar yan zincirin parçalanma ürünleri ile karışlığından çözümlenmemiştir.

### 1) 2-Dimetilaminoetil o,p-dimetilbenzoat Hidroklorür

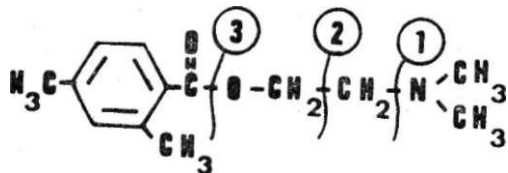
1.95 g (0.013 mol), o,p-dimetilbenzoik asit, 1.87 g (0.013 mol) 2-dimetilaminoetil klorür hidroklorür ve 2.63 g (0.026 mol) trietila-

min kullanılan sentez sonunda 2.63 g saf bileşik elde edildi. (Verim: % 78.57) E.d.: 120.0 °C

UV Spektrumu:  $\lambda$  maks. 207 ( $\epsilon=20550$ ), 242 ( $\epsilon=10700$ ) ve 281 ( $\epsilon=500$ ) nm

NMR Spektrumu:  $\delta$  ppm. 2.45 (para konumundaki metil protonları, 3H, s), 2.67 (ortho konumundaki metil protonları, 3H,s), 3.00 (azota bağlı metil protonları, 6H,s), 3.68 (azota bağlı metilen protonları, 2H,t), 4.87 (oksijene bağlı metilen protonları, 2H,t), 7.40 (benzen halkasının m protonu, 1H,s), 7.53 (benzen halkasının m' protonu, 1H,d), 8.27 (benzen halkasının o' protonu, 1H,d)

Kütle Spektrumu:



M+ 221 (Moleküler İyon, % 3.73)

- 1) m/e 177 (M+-44, %43.28)
- 2) m/e 58 (Ana pik, % 100)
- 3) m/e 133 (M+-88), % 68.95)

## 2) 2-Dietilaminoetil o,p-dimetilbenzoat Hidroklorür

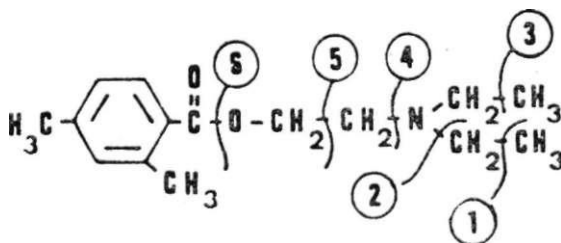
1.95 g (0.013 mol), o,p-dimetilbenzoik asit, 1.95 g (0.013 mol) 2-dietilaminoetil klorür hidroklorür ve 2.63 g (0.026 mol) trietilamin kullanılan sentez sonunda 2.84 g saf bileşik elde edildi. (Verim: % 76.52) E.d.: 141.2 °C

UV Spektrumu:  $\lambda$  maks. 207 ( $\epsilon=26350$ ), 242 ( $\epsilon=14000$ ) ve 281 ( $\epsilon=1050$ ) nm

NMR Spektrumu:  $\delta$  ppm. 1.33 (etil gruplarının metil protonları, 6H,t), 2.45 (para konumundaki metil protonları, 3H,s), 2.60 (ortho

konumundaki metil protonları, 3H,s), 3.10-3.90 (azota bağlı metilen protonları, 6H, m), 4.68 (oksijene bağlı metilen protonları, 2H,t), 7.40 (benzen halkasının m protonu, 1H, s), 7.53 (benzen halkasının m' protonu, 1H,d), 8.27 (benzen halkasının o' protonu, 1H,d)

Kütle Spektrumu:



M 249 (Moleküler İyon, % 11.94)

- |                             |                             |
|-----------------------------|-----------------------------|
| 1) m/e 234 (M+-15, % 22.39) | 2) m/e 220 (M+-29, % 25.97) |
| 3) m/e 205 (M+-44, % 4.48)  | 4) m/e 177 (M+-72, % 62.69) |
| 5) m/e 86 (Ana pik, % 100)  | 6) m/e 133 M 116, % 86.56)  |

### 3) 2-Di-n-propilaminoethyl o,p-dimetilbenzoat Hidroklorür

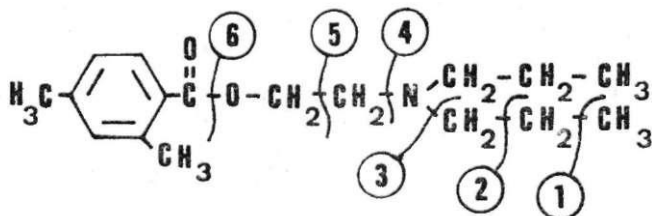
1.95 g (0.013 mol), o,p-dimetilbenzoik asit, 2.60 g (0.013 mol) 2-di-n-propilaminoethyl klorür hidroklorür ve 2.63 g (0.026 mol) trietilamin kullanılan sentez sonunda 3.17 g saf bileşik elde edildi. (Verim: % 70.58) E.d.: 147.2 °C

UV Spektrumu:  $\lambda$  maks. 207 ( $\epsilon=24350$ ), 242 ( $\epsilon=12400$ ) ve 281 ( $\epsilon=550$ ) nm

NMR Spektrumu:  $\delta$  ppm. 0.83 (propil gruplarının metil protonları, 6H,t), 1.40-2.00 (propil gruplarının metillere komşu metilen protonları, 4H,m), 2.40 (para konumundaki metil protonları, 3H,s), 2.57 (orto konumundaki metil protonları, 3H,s), 2.80-3.78 (azota bağlı metilen protonları, 2H,t), 4.77 (oksijene bağlı metilen protonları, 2H,t), 7.33 (benzen halkasının m protonu, 1H,s), 7.47 (benzen hal-

kasının  $m'$  protonu, 1H,d), 8.12 (benzen halkasının o' protonu, 1H,d)

Kütle Spektrumu:



M+ 277 (Moleküler İyon, % 23.08)

- |                             |                              |
|-----------------------------|------------------------------|
| 1) m/e 262 (M+-15, % 7.69)  | 2) m/e 248 (M+-29, % 83.08)  |
| 3) m/e 234 (M+-43, % 6.50)  | 4) m/e 177 (M+-100, % 93.85) |
| 5) m/e 114 (Ana pik, % 100) | 6) m/e 133 M 144, % 99.00)   |

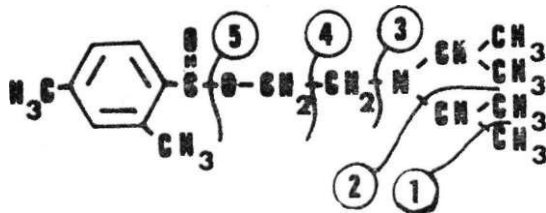
#### 4) 2-Diizopropilaminoethyl o,p-dimetilbenzoat Hidroklorür

1.95 g (0.013 mol) o,p-dimetilbenzoik asit, 2.60 g (0.013 mol) 2-diizopropilaminoethyl klorür hidroklorür ve 2.63 g (0.026 mol) trietilamin kullanılan sentez sonunda 3.31 g saf bileşik elde edildi. (Verim: % 73.70) E.d.: 139.3 °G

UV Spektrumu:  $\lambda$  maks. 207 ( $\epsilon=30350$ ), 242 ( $\epsilon=10750$ ) ve 281 ( $\epsilon=1050$ ) nm

NMR Spektrumu:  $\delta$  ppm. 1.42 (izoproil gruplarının metil protonları, 12H,dd). 2.40 (para konumundaki metil protonları, 3H,s), 2.62 (orto konumundaki metil protonları, 3H,s), 3.40-4.00 (azota bağlı metilen ve metin protonları, 4H,m), 4.80 (oksjene bağlı metilen protonları, 2H,t), 7.38 (benzen halkasının m protonu, 1H,s), 7.48 (benzen halkasının m' protonu, 1H,d), 8.23 (benzen halkasının o' protonu, 1H,d)

Kütle Spektrumu:



$M^+$  277 (Moleküler İyon, % 24.61)

- 1) m/e 262 ( $M^+ - 15$ , % 70.77)
- 2) m/e 234 ( $M^+ - 43$ , % 8.46)
- 3) m/e 177 ( $M^+ - 100$ , % 81.54)
- 4) m/e 114 (Ana pik, % 100)
- 5) m/e 133 ( $M^+ - 144$ , % 89.23)

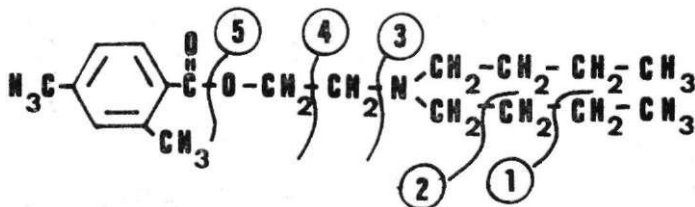
##### 5) 2-Di-n-butylaminoethyl o,p-dimetilbenzoat Hidroklorür

1.95 g (0.013 mol), o,p-dimetilbenzoik asit, 2.96 g (0.013 mol) 2-di-n-butylaminoethyl klorür hidroklorür ve 2.63 g (0.026 mol) trietilamin kullanılan sentez sonunda 3.25 g saf bileşik elde edildi. (Verim: % 66.94) E.d.: 144.2 °C

UV Spektrumu:  $\lambda$  maks. 207 ( $\epsilon = 17150$ ), 242 ( $\epsilon = 7600$ ) ve 281 ( $\epsilon = 450$ ) nm

NMR Spektrumu:  $\delta$  ppm. 0.99 (butil gruplarının metil protonları, 6H,t), 1.10-2.20 (butil gruplarının 2 ve 3. konumlarındaki metilen protonları, 8H,m), 2.42 (para konumundaki metil protonları, 3H,s), 2.60 (orta konumundaki metil protonları, 3H,s), 3.00-4.00 (azota bağlı metilen protonları, 6H,m). 4.90 (oksijene bağlı metilen protonları, 2H,t), 7.40 (benzen halkasının m protonu, 1H,s), 7.50 (benzen halkasının m' protonu, 1H,d), 8.20 (benzen halkasının o' protonu, 1H,d)

Kütle Spektrumu :



$M^+$  305 (Moleküler iyon, % 6.12)

- 1) m/e 276 ( $M^+ - 29$ , % 3.12)
- 2) m/e 262 ( $M^+ - 43$ , % 61,90)
- 3) m/e 177 ( $M^+ - 128$ , % 71.42)
- 4) m/e 142 (Ana pik, % 100)
- 5) m/e 133 ( $M^+ - 172$ , % 80.95)

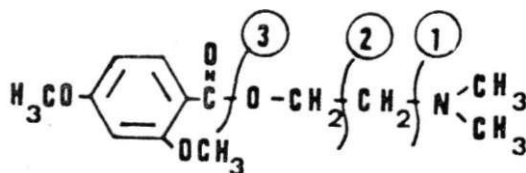
#### 6) 2-Dimetilaminoetil o,p-dimetoksibenzoat Hidroklorür

2.36 g (0.013 mol) o,p-dimetoksibenzoik asit, 1.87 g (0.013 mol) 2-dimetilaminoetil klorür hidroklorür ve 2.63 g (0.026 mol) trietilamin kullanılan sentez sonunda 2.63 g saf bileşik elde edildi. (Verim: % 69.90) E.d.: 163.9 °C

UV Spektrumu:  $\lambda$  maks. 211 ( $\epsilon = 17600$ ), 223 (omuz,  $\epsilon = 11000$ ), 2475 ( $\epsilon = 10850$ ) ve 295 ( $\epsilon = 2600$ ) nm

NMR: Spektrumu:  $\delta$  ppm. 2.93 (azota bağlı metil protonları, 6H,s), 3.59 (azota bağlı metilen protonları, 2H,t), 4.00 (metoksil protonları, 6H,s), 4.75 (oksjene bağlı metilen protonları, 2H,t), 6.80 (benzen halkasının m protonu, 1H,s), 6.95 (benzen halkasının m' protonu, 1H,d), 8.20 (benzen halkasının o' protonu, 1H,d)

## Kütle Spektrumu:



M 253 (Moleküler İyon, % 7.57)

- 1) m/c 209 ( $M+ - 44$ , % 11.36)
- 2) m/e 58 (Ana pik, % 100)
- 3) m/c 165 ( $M+ - 88$ , % 69.69)

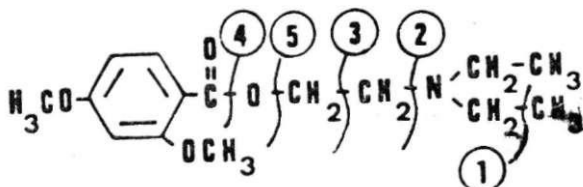
## 7) 2-Dietilaminoethyl o,p-dimetoksibenzoat Hidroklorür

2.36 g (0.013 mol) o,p-dimetoksibenzoik asit, 2.23 g (0.013 mol) 2-dietilaminoethyl klorür hidroklorür ve 2.63 g (0.026 mol) trietylamin kullanılan sentez sonunda 3.10 g saf bileşik elde edildi. (Verim: % 75.80) E.d.: 135.8°C

UV Spektrumu:  $\lambda$  maks. 211 ( $\epsilon = 13750$ ), 223 (omuz,  $\epsilon = 6850$ ), 257 ( $\epsilon = 9900$ ) ve 295 ( $\epsilon = 4900$ )

NMR Spektrumu:  $\delta$  ppm. 1.30 (etyl gruplarının metil protonları, 6H,t), 3.00-3.80 (azota bağlı metilen protonları, 6H,m), 4.08 (metoksil protonları, 6H,s), 4.80 (oksijene bağlı metilen protonları, 2H,t), 6.82 (benzen halkasının m protonu, 1H,s), 7.00 (benzen halkasının m' protonu 1H,d), 8.20 (benzen halkasının o' protonu, 1H,d)

## Kütle Spektrumu:



$M+$  281 (Moleküler İyon, % 7.57)

- 1) m/e 266 ( $M+ - 15$ , % 6.15)
- 2) m/e 209 ( $M+ - 72$ , % 39.39)
- 3) m/e 86 (Ana pik, % 100)
- 4) m/e 165 ( $M+ - 116$ , % 75.37)
- 5) m/e 99 ( $M+ - 182$ , % 90.90)

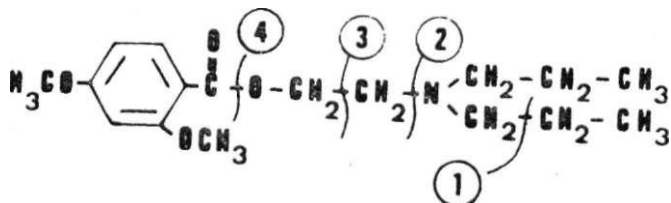
### 8) 2-Di-n-propilaminoetil o,p-dimetoksibenzoat Hidroklorür

2.36 g (0.013 mol), o,p-dimetoksibenzoik asit, 2.60 g (0.013 mol) 2-di-n-propilaminoetil klorür hidroklorür ve 2.63 g (0.026 mol) trietilamin kullanılan sentez sonunda 3.28 g saf bileşik elde edildi. (Verim: % 70.80) E.d.: 134.1 °C

UV Spektrumu:  $\lambda$  maks. 211 ( $\epsilon=18900$ ), 223 (omuz,  $\epsilon=10350$ ), 257 ( $\epsilon=12800$ ) ve 295 ( $\epsilon=5950$ ) nm

NMR Spektrumu:  $\delta$  ppm. 0.97 (propil gruplarının metil protonları, 6H,t), 1.50-2.20 (propil gruplarının metile komşu metilen protonları, 4H,m), 3.00-3.81 (azota bağlı metilen protonları, 6H,m), 4.08 (metoksil protonları, 6H,s), 4.83 (oksijene bağlı metilen protonları, 2H,t), 6.83 (benzen halkasının m protonu, 1H,s), 7.00 (benzen halkasının m' protonu, 1H,d), 8.20 (benzen halkasının o' protonu, 1H,d)

Kütle Spektrumu:



M+ 309 (Moleküler İyon, % 3.12

- 1) m/e 280 (M+-29, % 41.39)    2) m/e 209 (M+-100, % 53,23)
- 3) m/e 114 (Ana pik, % 100)    4) m/e 195 (M+-144, % 88.70)

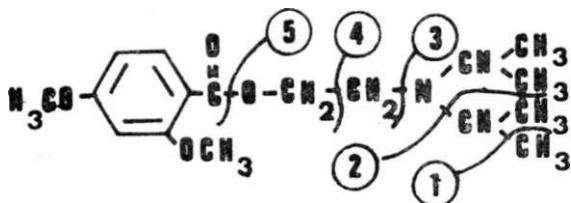
### 9) 2-Diizopropilaminoetil o,p-dimetoksibenzoat Hidroklorür

2.36 g (0.013 mol) o,p-dimetoksibenzoik asit, 2.60 g (0.013 mol) 2-diizopropilaminoetil klorür hidroklorür ve 2.63 g (0.026 mol) trietilamin kullanılan sentez sonunda 3.06 g saf bileşik elde edildi. (Verim: % 68.13) E.d.: 170.4 °C

UV Spektrumu:  $\lambda$  maks. 211 ( $\epsilon=20550$ ), 223 (omuz,  $\epsilon=11800$ ), 257 ( $\epsilon=13950$ ) ve 295 ( $\epsilon=6450$ ) nm

NMR Spektrumu:  $\delta$  ppm. 1.30-1.60 (izopropil gruplarının metil protonları, 12H,dd), 3.40-3.83 (azota bağlı metilen ve metin protonları, 4H,m), 4.08 (metoksil protonları, 6H,s), 4.80 (oksjene bağlı metilen protonları, 2H,t), 6.83 (benzen halkasının m protonu, 1H,s), 7.00 (benzen halkasının m' protonu, 1H,d), 8.23 (benzen halkasının o' protonu, 1H,d)

Kütle Spektrumu:



M+ 309 (Moleküler İyon, % 6.06)

- 1) m/e 294 (M+-15, % 31.25)      2) m/e 266 (M+-43, % 3.12)
- 3) m/e 209 (M+-100, % 53.12)      4) m/e 114 (Ana pik, % 100)
- 5) m/e 165 (M+-144, % 71.87)

#### 10) 2-Di-n-butylaminoethyl o,p-dimetoksibenzoat Hidroklorür

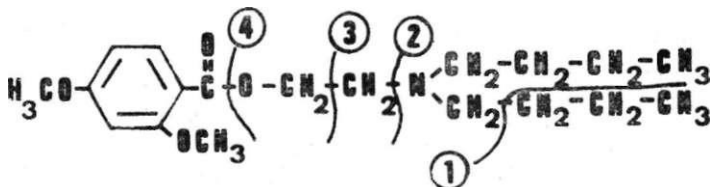
2.36 g (0.013 mol), o,p-dimetoksibenzoik asit, 2.96 g (0.013 mol) 2-di-n-butylaminoethyl klorür hidroklorür ve 2.63 g (0.026 mol) tiretilamin kullanılan sentez sonunda 3.35 g saf bileşik elde edildi. (Verim: % 68.99) E.d.: 98.3 °C

UV Spektrumu:  $\lambda$  maks. 211 ( $\epsilon=19400$ ), 223 (omuz,  $\epsilon=10550$ ), 257 ( $\epsilon=12850$ ) ve 295 ( $\epsilon=5950$ ) nm

NMR Spektrumu:  $\delta$  ppm. 0.88 (butil gruplarının metil protonları, 6H,t), 1.10-2.00 (butil gruplarının 2 ve 3. konumlarındaki metilen protonları, 6H,m), 3.00-3.90 (azota bağlı metilen protonları, 6H,m), 4.08 (metoksil protonları, 6H,s), 4.80 (oksjene bağlı metilen protonları, 2H,t), 6.83 (benzen halkasının m protonu, 1H,s), 7.00 (benzen

halkasının m' protonu, 1H,d), 8.23 (benzen halkasının o' protonu, 1H,d)

Kütle Spektrumu:



M+ 337 (Moleküler İyon, % 6.16)

- 1) m/e 294 (M+-43, % 40.62)      2) m/e 209 (M+-128, % 59.37)
- 3) m/e 142 (Ana pik, % 100)      4) m/e 165 (M+-172, % 87.50)

### Farmakolojik Testler

Sentezlenen bileşiklerin lokal anestezik etkileri deri duyarlığının yitirilmesi esasına dayanan Bülbring ve Wajda yöntemi ile yapılmıştır (6).

Farmakolojik deneyler 500 g civarında olan sağlıklı kobaylar üzerinde yapılmıştır. Kobayların sırtlarında takriben  $10 \text{ cm}^2$  lik bir alan traş edilmiş, işaretlenen bu bölgeye izotonik sodyum klorür çözeltisinde hazırlanmış 0.1 M çözeltilerden 0.3 ml cilt altına zerk edilmiştir.

Önce etkinin ortaya çıkış süresi bulunmuş ve daha sonra etki süresinin saptanması için bileşigin verildiği bölgeye igne batırılarak refleksler gözlenmiştir. Reflekslerin gözlenmesi her 2.5 dakikada bir yapılmış ve reflekslerin geri geldiği anda bileşigin etkisinin sona erdiği kabul edilmiştir. Deneylerde, duyarlılığın geri geldiği süre ile etkinin başladığı süre arasındaki fark bileşigin etki süresi olarak alınmıştır. Kobay üzerinde, bileşiklerin etkisi denenirken her kobaya ay-

nı zamanda eşit konsantrasyonda prokain hidroklorür de enjekte edilmiş ve her bileşigin prokain indeksi değerleri şu denklemle bulunmuştur;

$$\text{Prokain İndeksi} = \frac{\text{Bileşigin Etki Süresi}}{\text{Prokain HCl'ün Etki Süresi}}$$

Tablo: 2, sentezlenen bileşiklerin lokal anestezik etki sürelerini ve prokain indeksi değerlerini vermektedir. Tablodan görüldüğü gibi bileşiklerin kantitatif lokal anestezik etkileri yan zincirdeki karbon sayısına bağlı olarak artmaktadır. Zincirdeki karbon sayısı dörtten fazla olduğunda etkinin düşüğü bilindiğinden daha fazla karbon sayılı alkil gruplarını taşıyan yapılar sentezlenmemiştir (7). Yine Tablo'dan anlaşılacağı üzere orto ve para konumlarında metil grubu taşıyan yapılar, metoksil grubu taşıyanlara nazaran daha uzun süreli etki göstermektedir. 2,4- dimetoksibenzoik asitin 2-di-n-butilaminoethyl esterinin aynı asitin diğer esterlerine nazaran çok uzun etki göstermesinin sebebi açıklanamamıştır.

Bil. No.	Etki Süresi (dakika)	Prokain İndeksi	Bil. No.	Etki Süresi (dakika)	Prokain İndeksi
1	75	1.36	6	10	0,18
2	205	3.72	7	40	0.72
3	200	3.63	8	45	0.82
4	210	3.81	9	30	0.54
5	210	3.81	10	195	3.54

Tablo 2: Bileşiklerin Lokal Anestezik Etki Sonuçları

### SONUÇ ve TARTIŞMA

Bu çalışmada, benzoik asit esteri lokal anestezik etkili bileşiklerde orta konumunda bulunan sübstituentlerin etkiye olan katkılarının ortaya konulması amacıyla sentezlenen o,p-dimetoksi- ve o,p-dimetilbenzoik asitin 2-dialkilaminoetil esterlerinin sentezleri, yapılarının açıklanması ve kantitatif lokal anestezik etkilerinin tayini ele alınmıştır.

Esterlerin alkol kısmını oluşturan dialkilaminoetil yapılarında alkil grupları metilden n-butile kadar değiştirilmiş; dallanmış bir yapının da etkisinin ortaya konulabilmesi için izopropil grupları da yerleştirilmiştir. Yan zincirdeki karbon sayısı dörtten fazla olduğunda etkinin düşüğü bilindiğinden daha fazla karbon sayılı alkil gruplarının konulmasına gerek duyulmamıştır.

Sentezlenen 10 bileşigin 7 si ilk kez bu çalışmada yapılmıştır. Bileşiklerin tümünün UV, İR, NMR ve Kütle Spektrumları çekilecek yapıları kanıtlanmıştır. Ayrıca, hazırlanan her bileşigin, deri duyarlılığının yitirilmesi esasına dayanan yöntemle kantitatif lokal anestezik etkileri de bulunmuş ve prokain hidroklorür ile mukayese edilmiştir.

Farmakolojik etki sonuçlarına bakıldığından, benzen halkası üzerinde orta ve para konumlarında metil grubu taşıyan yapıların metoksüllü taşıyan analoglarına nazaran daha uzun etkili olduğu anlaşılmaktadır. Bu durumun sebebi ileride yapılacak çalışmalarla açıklanabilecektir. Ancak, orta konumunda bulunan hacimli grupların bileşigin reseptörden uzaklaşmasını sağlayarak etkiyi düşürdüğü düşünülmektedir. Orta konumunda bulunan metoksüllü grubu bileşigin reseptörden uzaklaşmasını sağlamakta ve bileşigin reseptöre bağlanması daha güç olduğundan etki düşmektedir.

### LITERATÜR

- 1- **Özden, T.**, Benzoik Asit Esteri Lokal Anestezik Bileşiklerin Sentez ve Yapı Açıklamaları 1, *Ankara Ecz. Fak. Mec.*, **13**, 111-29 (1983)
- 2- **Rohmann, C., Eckert, Th.**, Synthese und Einige Physikalisch-Chemische Eigenschaften der Diethylaminoethyl Estern von di- und tri alkoxybenzoësäuren, *Ardi. Pharm.*, **291**, 450-63 (1958)

- 3- **Sadtler Research Laboratories Inc.**, Standart Infrared Grating Spectra, Philadelphia, U.S.A., 1972.
- 4- **Barar, F. S. K., Sharma, V. N.**, The Effect of Three Aminoethyl Esters of Substituted Benzoic Acids on Cardiac, Skeletal and Smooth Muscles, *Indian J. Med. Res.*, 50, 209-17 (1962)
- 5- **Mndzhojan, A. L., Afrikyan, V. G., Khorenyan, G. A., Lehsenyan, R. A., Marashyan, L. S.**, Synthesis of p-Alkoxybenzoic Acid Derivatives XXV-III. Aminoesters of W2,4- and 2,6- dialkoxybenzoic Acid, *Arm. Khim. Zh.*, 25 (7), 598-603 (1972)
- 6- **Bübring, E., Wajda, I.**, Biological Comparasion of Local Anesthetics, *J. Pharmacol. Exptl. Therap.*, 85, 78-84 (1945)
- 7- **Kalow, W.**, Hydrolysis of Local Anesthetics by Human Serum Cholinesterase, *J. Pharmacol. Exptl. Therap.*, 104, 22-34 (1952)